马博良,陆其峰,王富,等,2025. 基于云顶高度产品的 FY-4A 云导风高度再指定方法研究[J]. 气象,51(4):484-495. Ma B L, Lu Q F, Wang F, et al, 2025. Height reassignment method of FY-4A atmospheric motion vectors based on cloud top height products[J]. Meteor Mon,51(4):484-495 (in Chinese).

# 基于云顶高度产品的 FY-4A 云导风 高度再指定方法研究\*

马博良1,2 陆其峰2,3 王 富2,3 华 维1,4 张晓虎5,6,7

- 1 成都信息工程大学大气科学学院,成都 610225
- 2 中国气象局地球系统数值预报中心,北京 100081
- 3 中国气象科学研究院灾害天气国家重点实验室,北京 100081
- 4 温江国家气候观象台,成都 611133
- 5 国家卫星气象中心/国家空间天气监测预警中心,北京 100081
- 6 许健民气象卫星创新中心,北京 100081
- 7 中国气象局遥感卫星辐射测量和定标重点开放实验室,北京 100081

提 要:高度指定误差是卫星导风产品最主要的误差来源。FY-4A 云顶高度产品采用红外窗区通道和二氧化碳切片通道算法,精度较高。将 FY-4A 云顶高度与云导风产品进行时空匹配,在云导风目标追踪框中搜索代表性像元,用其平均云顶高度替换原有云导风的云高,实现其高度再指定。基于 ERA5 再分析资料的检验结果表明:高度再指定后,高、中、低三层的 FY-4A 云导风均方根误差均有明显降低,分别从  $4.06~\mathrm{m\cdot s^{-1}}$ 降至  $3.25~\mathrm{m\cdot s^{-1}}$ , $4.25~\mathrm{m\cdot s^{-1}}$ 降至  $3.71~\mathrm{m\cdot s^{-1}}$ , $2.42~\mathrm{m\cdot s^{-1}}$ 降至  $2.13~\mathrm{m\cdot s^{-1}}$ 。高度再指定缓解了云导风定高偏高的问题,降低了云导风偏差,特别是慢速偏差改善明显。东北冷涡和台风墨芭等个例表明该方法能够提高云导风与背景场的一致性,在数值预报同化和天气过程分析中具有较好的应用前景。

关键词:云导风,云顶高度,高度再指定,代表运动像元,FY-4A

中图分类号: P413

文献标志码: A

**DOI:** 10. 7519/j. issn. 1000-0526. 2024. 121301

# Height Reassignment Method of FY-4A Atmospheric Motion Vectors Based on Cloud Top Height Products

MA Boliang<sup>1,2</sup> LU Qifeng<sup>2,3</sup> WANG Fu<sup>2,3</sup> HUA Wei<sup>1,4</sup> ZHANG Xiaohu<sup>5,6,7</sup>

- 1 School of Atmospheric Sciences, Chengdu University of Information Technology, Chengdu 610225
- 2 Earth System Modeling and Prediction Centre, CMA, Beijing 100081
- 3 State Key Laboratory of Severe Weather, Chinese Academy of Meteorological Sciences, Beijing 100081
- 4 Wenjiang National Climatology Observatory, Chengdu 611133
- 5 National Satellite Meteorological Centre/National Centre for Space Weather, Beijing 100081
- 6 Innovation Center for Feng Yun Meteorological Satellite (FYSIC), Beijing 100081
- 7 Key Laboratory of Radiometric Calibration and Validation for Environmental Satellites, CMA, Beijing 100081

**Abstract:** The primary source of the bias of atmospheric motion vectors (AMVs) is related to inaccuracies in assigning heights. The cloud top height algorithm employed by China's new generation geostationary meteorological satellite FY-4A make use of both the infrared window channel and CO<sub>2</sub> slicing channel.

<sup>\*</sup> 国家重点研发计划(2022YFC3004102)和温江国家气候观象台科研团队建设计划共同资助

<sup>2024</sup>年5月16日收稿; 2025年2月24日收修定稿

第一作者:马博良,主要从事卫星资料同化研究. E-mail:maboliang@163.com

通讯作者:陆其峰,主要从事卫星资料同化研究. E-mail:luqf@cma.gov.cn

This leads to an improvement in its accuracy. In this study, cloud top height is used to correct AMVs of FY-4A satellite through spatiotemporal matching between the two products. Representative pixels within the AMVs tracking box are searched, and their average cloud top height is used to replace the original cloud height of the AMVs, achieving height reassignment. Verification using ERA5 reanalysis data shows that after height reassignment, the root mean square error (RMSE) of FY-4A infrared channel AMVs is significantly reduced across high, medium, and low layers. Specifically, the RMSE for the high layer decreases from 4.06 m • s<sup>-1</sup> to 3.25 m • s<sup>-1</sup>, for the medium layer from 4.25 m • s<sup>-1</sup> to 3.71 m • s<sup>-1</sup>, and for the low layer from 2.42 m • s<sup>-1</sup> to 2.13 m • s<sup>-1</sup>. Height reassignment alleviates the problem of AMVs being assigned to overly high altitudes, reducing biases, particularly improving slow motion biases. Case studies of the Northeast China cold vortex and Typhoon Chaba demonstrate that this method can improve the consistency between cloud-derived winds and the background field. Promising applications of this method in numerical weather prediction assimilation and weather process analysis are envisioned.

**Key words:** atmospheric motion vectors, cloud top height, height reassignment, representative motion pixels, FY-4A satellite

### 引言

全球风场是改善数值天气预报初始条件的重要观测资料之一(Bormann and Thépaut,2004;许健民和张其松,2006;Baker et al,2014)。近年来,全球三维风场探测资料日益丰富(杨天杭等,2021),静止轨道气象卫星成像仪卫星云导风产品能提供全球高时空分辨率、不同高度层的风场观测资料,是海洋和高原等常规观测不足地区风场观测的重要补充(薛纪善,2009;Stoffelen et al,2020)。

卫星云导风主要包括红外、水汽和可见光通道, 分别以红外通道云、水汽目标和可见光通道云为示 踪物,其误差主要来自目标追踪和高度指定 (Bormann et al, 2002; Le Marshall et al, 2004; 周润 东等,2024),而高度指定误差的占比约达 70% (Velden et al, 2005; Velden and Bedka, 2009)。以 红外通道云导风为例,产生目标追踪误差是因为目 标追踪框中检测到以不同速度移动的各类型云,导 致示踪物选取困难(Bormann et al, 2003; Borde and Oyama,2008);高度指定误差是由于大气中广泛存 在的透明云、多层云等复杂条件,降低了高度指定的 精度(Roebeling et al, 2013)。减小卫星云导风误差 能够提高资料在数值预报系统中的同化数据量,是 提升其对初始场改进贡献的重要手段(杨璐等, 2022; Lean and Bormann, 2023)。其中, 目标追踪误 差通过示踪物代表运动像元选取方法(Nieman et al, 1997; Xu et al, 2002; 张晓虎等, 2017a)、交叉相关贡献

法(Borde et al, 2014)及嵌套追踪算法(Daniels et al, 2013)等得到了较好解决,使其显著降低(Borde et al, 2014)。云导风高度指定误差也通过改进反演方法得到改善,包括将高、中、低云分别处理(Xu et al, 1998),利用风场一致性原理修正示踪物高度分配过高的问题等(陈华等, 1999; Yang et al, 2012)。

此外,用于反演云顶高度的二氧化碳切片法 (Paul Menzel et al,2010),改进了红外双通道法 (Heidinger and Pavolonis,2009)对光学薄卷云云高敏感度低的问题,其云顶高度更接近主动激光雷达观测的云顶高度(Heidinger et al,2010)。而二氧化碳切片法也随之被用于改进云导风的高度指定。欧洲气象卫星开发组织(EUMETSAT)在极轨卫星极区云导风产品中采用了结合二氧化碳切片法的最佳云分析产品来指定云的高度(Wanzong et al,2016)。美国国家海洋和大气管理局(NOAA)静止环境观测卫星-16(GOES-16)的高级基线成像仪云导风产品,在原来红外通道高度指定法的基础上结合了二氧化碳切片法,产品精度有所提高(Daniels et al,2013)。

我国第二代静止轨道气象卫星风云四号(FY-4) 上搭载了先进的静止轨道辐射成像仪(AGRI),其 卫星云导风算法沿用了FY-2的分层简化算法(Xu et al,2002;许健民和张其松,2006;万晓敏等,2017; 许健民,2020)和交叉相关系数法(张晓虎等,2017a) 进行目标追踪,对不透明云采用等效黑体温度法进 行高度指定,对半透明云选用冷区段大贡献像元的 辐射亮温与模式预报温度廓线插值来估计高度(张晓虎等,2017b)。AGRI 在通道设置上与高级基线成像仪相似,其云顶高度产品也结合了二氧化碳切片法(Min et al,2020;王富和赵宇,2021),与葵花八号卫星(Himawari-8)高像素红外线成像仪和中分辨率成像光谱仪等的云顶高度产品一致性较好(Tan et al,2019;王富和赵宇,2021),具备应用于云导风高度指定的能力。

本研究利用 FY-4A 云顶高度产品对云导风进行高度再指定,结合跟踪框范围内的示踪物空间代表性像元搜索、时间代表性像元搜索,发展了改进云导风精度的方法。

### 1 数据及方法

#### 1.1 卫星和再分析数据

所用资料为国家卫星气象中心提供的 FY-4A 云导风资料(万晓敏等,2019)及云顶高度资料。

- (1) 云导风产品: FY-4A 通道 12(中心波段 10.8 μm)的云导风资料,时间分辨率为 3 h,空间分辨率为 48 km。
- (2)云顶高度产品: FY-4A 云顶高度资料算法主要采用一维变分方法利用通道  $12\sim14$ (王富和赵宇,2021; Wang et al,2022)的云导风资料,时间分辨率约为15 min,空间分辨率为4 km。
- (3) 再分析数据:欧洲中期天气预报中心(ECMWF)第五代全球大气再分析资料(ERA5)作为研究的参考场,对比分析高度再指定前后云导风资料的偏差分布情况,时间分辨率为1h,空间分辨率为0.25°。

首先,对不同季节的卫星资料进行时空匹配,包括四个代表月,2022年7月(夏)和10月(秋),2023年1月(冬)和4月(春)。选择质量较高的云导风资料,即质量控制参数大于85(Liang et al,2021);选择每日四个时次(00、06、12、18时,世界时,下同)资料;选取云导风观测对应的前后两次云顶高度产品,选择云导风中心点周围12像元×12像元框内的云顶高度资料。

#### 1.2 高度再指定方法

利用云顶高度产品对云导风进行高度再指定的 方法流程如图 1 所示。

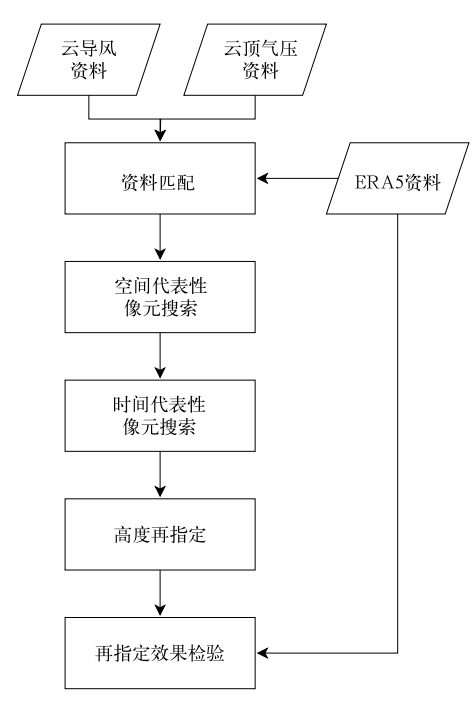


图 1 FY-4A 云导风云顶高度 再指定流程图

Fig. 1 Diagram of the cloud top height reassignment process of FY-4A atmospheric motion vectors

其四个主要步骤为:

- (1)根据云导风的行列号信息对云顶高度数据进行匹配,得到每个跟踪框内云顶高度的样本数据集。
- (2)基于 NOAA 高级基线成像仪云导风产品的 嵌套追踪算法(Daniels et al,2013)设计了空间代表 性像元搜索方法,用于获取跟踪框内代表运动示踪 物的范围。利用一个小窗口来对跟踪框内所有云顶高度进行检索(Oh et al,2019),"嵌套"在跟踪框内的小窗口范围是不固定的,即用 3 像元×3 像元、5 像元×5 像元、7 像元×7 像元、9 像元×9 像元窗口检验,得到云顶高度一致性最强(云顶高度的二阶矩最小)的窗口 W:

$$W = \operatorname{argmin} \sqrt{\frac{1}{n} \sum_{i=1}^{n} (P_{ci} - \mu)^2}$$
 (1)

式中:argmin 表示取使后面表达式最小的参数值,n 表示窗口 W 内的数据点数量, $P_{ci}$ 表示第 i 个数据点的云顶高度(单位:hPa), $\mu$  表示窗口 W 内云顶高度的平均值(单位:hPa)。

(3)根据 NOAA 云导风算法中对云顶高度数据

的应用,设计了时间代表性像元搜索方法,用于更好地处理每个目标场景中生成的两个时次窗口样本,两者云顶高度的平均值分别记为 $\overline{H_1}$ 、 $\overline{H_2}$ ,若两者差值小于 300 hPa,则将两个窗口样本高度合并,确定代表性像元;若两者差值大于等于 300 hPa,则选择第一个时次窗口样本作为代表性像元。

(4)采用代表性像元云顶高度的平均值对云导 风高度进行替换,完成云导风高度再指定。

$$H_{\rm AMVs}^{\rm new} = \begin{cases} \frac{1}{2} (\overline{H_1} + \overline{H_2}) & |\overline{H_1} - \overline{H_2}| < 300 \\ \overline{H_1} & |\overline{H_1} - \overline{H_2}| \geqslant 300 \end{cases}$$
(2)

式中: $H_{\text{AMVs}}^{\text{new}}$ 为替换后的云导风高度(单位:hPa), $\overline{H_1}$ 和 $\overline{H_2}$ 分别为经空间代表性像元搜索后两个时次的样本云顶高度平均值(单位:hPa)。

选取 ERA5 再分析资料作为参考场,分别进行偏差(Bias)、均方根误差(RMSE)、矢量均方差(VMSE)、平均绝对百分比误差(MAPE)分布统计,计算方法分别见式(3)~式(6)。

Bias = 
$$\frac{1}{n} \sum_{i=1}^{n} (U_i - u_i)$$
 (3)

RMSE = 
$$\sqrt{\frac{\sum_{i=1}^{n} (U_i - u_i)^2}{n}}$$
 (4)

VMSE = 
$$\frac{1}{n} \sum_{i=1}^{n} \sqrt{(U_i - u_i)^2 + (V_i - v_i)^2}$$
 (5)

MAPE = 
$$\frac{1}{n} \sum_{i=1}^{n} \left( \frac{|U_i - u_i|}{\bar{u}} \right) \times 100\%$$
 (6)

式中: $U_i$ 、 $V_i$  表示云导风风速, $u_i$ 、 $v_i$  表示对应的 ERA5 风速, $\bar{u}$  表示对应层平均风速值, $\bar{n}$  代表所有云导风数量。

## 2 高度再指定结果与分析

#### 2.1 高度再指定对云导风精度的改进

FY-4A 云导风产品经高度再指定后精度有所提升。由图 2 可见,高层(p<400 hPa)春季(2023年4月)平均 Bias 减小最明显,从-0.44 m·s $^{-1}$ 降低到-0.02 m·s $^{-1}$ ;中层(400 hPa $\leqslant p$ <700 hPa)秋季(2022年10月)高度再指定后 RMSE 最小,为3.57 m·s $^{-1}$ ;低层(p $\geqslant$ 700 hPa)秋季(2022年10月)平均 Bias 减小最明显,从-0.76 m·s $^{-1}$ 降低到

 $0.23 \text{ m} \cdot \text{s}^{-1}$ 。 RMSE 最大值与最小值的差从  $1.95 \text{ m} \cdot \text{s}^{-1}$ 降低到  $0.88 \text{ m} \cdot \text{s}^{-1}$ ,数据长期一致性 有所提高。此外,三层的 VMSE 均有明显降低 (图 3),高层四个代表月的平均 VMSE 从  $4.30 \text{ m} \cdot \text{s}^{-1}$ 降至  $3.56 \text{ m} \cdot \text{s}^{-1}$ ,中层从  $4.58 \text{ m} \cdot \text{s}^{-1}$ 降至  $3.79 \text{ m} \cdot \text{s}^{-1}$ ,低层从  $2.76 \text{ m} \cdot \text{s}^{-1}$ 降至  $2.46 \text{ m} \cdot \text{s}^{-1}$ ,低层改善效果略低于中、高层。

对比不同季节结果也可以发现,春季和秋季中、高层的高度再指定效果最好,这与卷云在春秋季节出现频率较高且光学厚度较大有关(Zhao et al, 2020),说明二氧化碳切片法对卷云高度的改进效果明显。

整体统计结果显示(表 1),高层四个代表月的平均 RMSE 从  $4.06 \text{ m} \cdot \text{s}^{-1}$ 降低到  $3.25 \text{ m} \cdot \text{s}^{-1}$ ,最为显著,中层从  $4.25 \text{ m} \cdot \text{s}^{-1}$ 降低到  $3.71 \text{ m} \cdot \text{s}^{-1}$ ,低层从  $2.42 \text{ m} \cdot \text{s}^{-1}$ 降低到  $2.13 \text{ m} \cdot \text{s}^{-1}$ ,且各层 MAPE 均有所降低,中层从 18.88%降低到 16.83%,改进最明显。

此外,利用 2022 年 7 月广州、北京两个站的探空 资料对高度再指定前后的云导风进行检验(图 4),以 去除 ERA5 资料的影响(Yao et al,2020; Li et al,2024)。由于探空资料观测频次较低,两个站能够与云导风匹配的观测分别为 13 次和 15 次,而高度再指定后云导风与探空资料的 RMSE 由高度再指定前的 5.20 m·s<sup>-1</sup>降低到 2.98 m·s<sup>-1</sup>,相关系数由 0.88 提升至 0.96,t 检验相关系数从一0.12 提升至 0.40。这也进一步说明高度再指定方法能够有效提高云导风数据质量。

#### 2.2 高度再指定改进效果分析

由 2022 年 7 月 FY-4A 云导风产品高度再指定前后空间分布精度检验结果(图 5)可见,月平均Bias负值的连续大面积集中现象得到了明显改善。其中,中、高层南半球海洋上空的大量连续负 Bias,其绝对值(大于 7 m·s<sup>-1</sup>;图 5b,5c)降低到约 4 m·s<sup>-1</sup>(图 5e,5f)。这可能是由于指定的云导风高度偏高,导致云导风风速低于 ERA5 风速(Daniels et al, 2013),高度再指定明显改善了这一现象。

高度再指定后各纬度低层云导风数量有所增 多,高层数量减少,中层南半球数量减少、北半球增 多(图 6)。2022 年 7 月,南半球低层云导风的数量 明显多于北半球,这一现象可能是由于 7 月南半球处于冬季,更容易形成低云(Verlinden et al, 2011)。总体而言,高度再指定后,低层云导风的数量增加了 50.99%,而中、高层云导风的数量分别减少 0.76%

和 20.56%(表略)。

此外,统计了 2022 年 7 月高度再指定前后始终位于同一分层的云导风样本,发现 Bias 和 RMSE 同样均有所减小(表 2)。低层始终位于同一分层的平

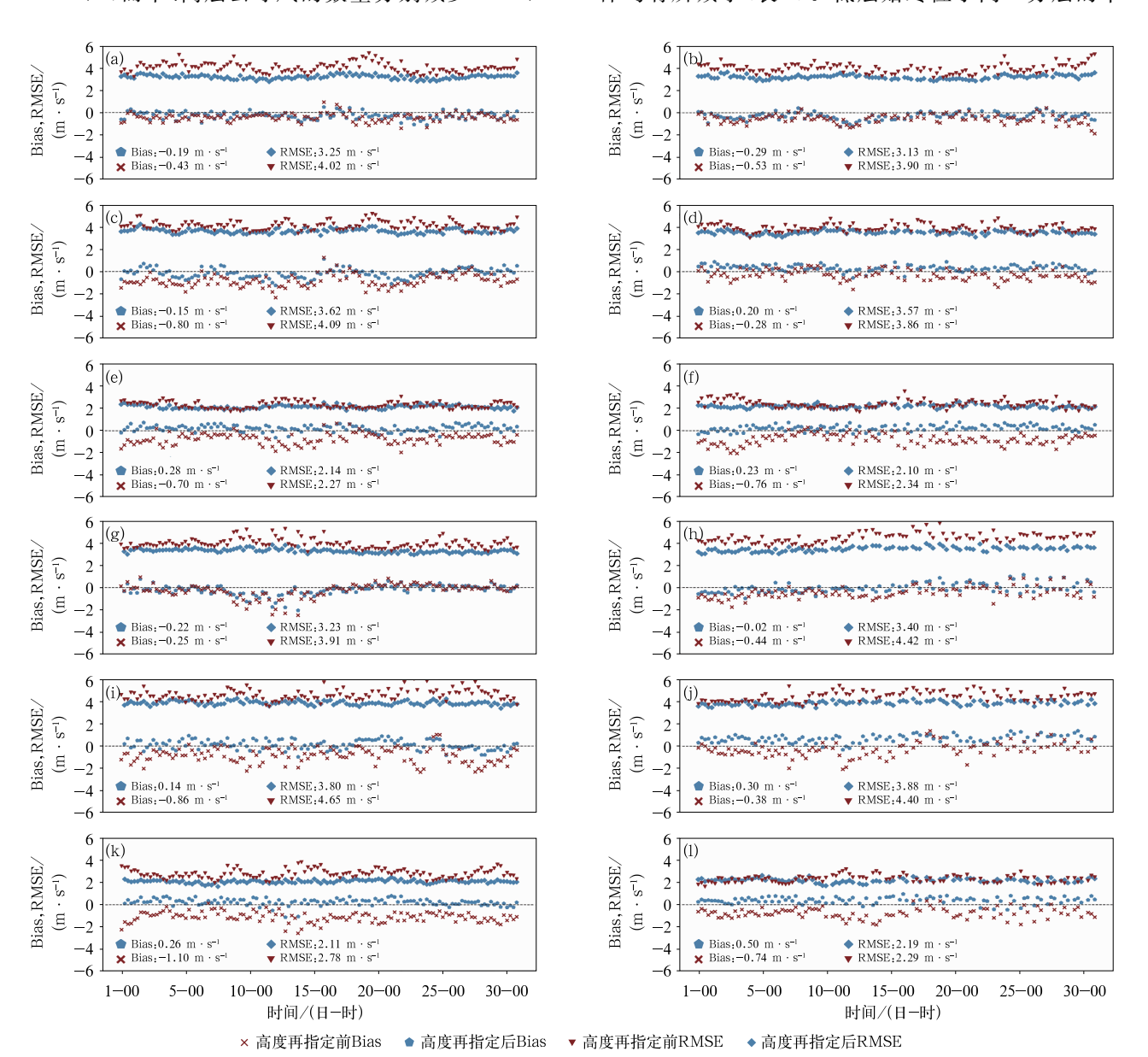
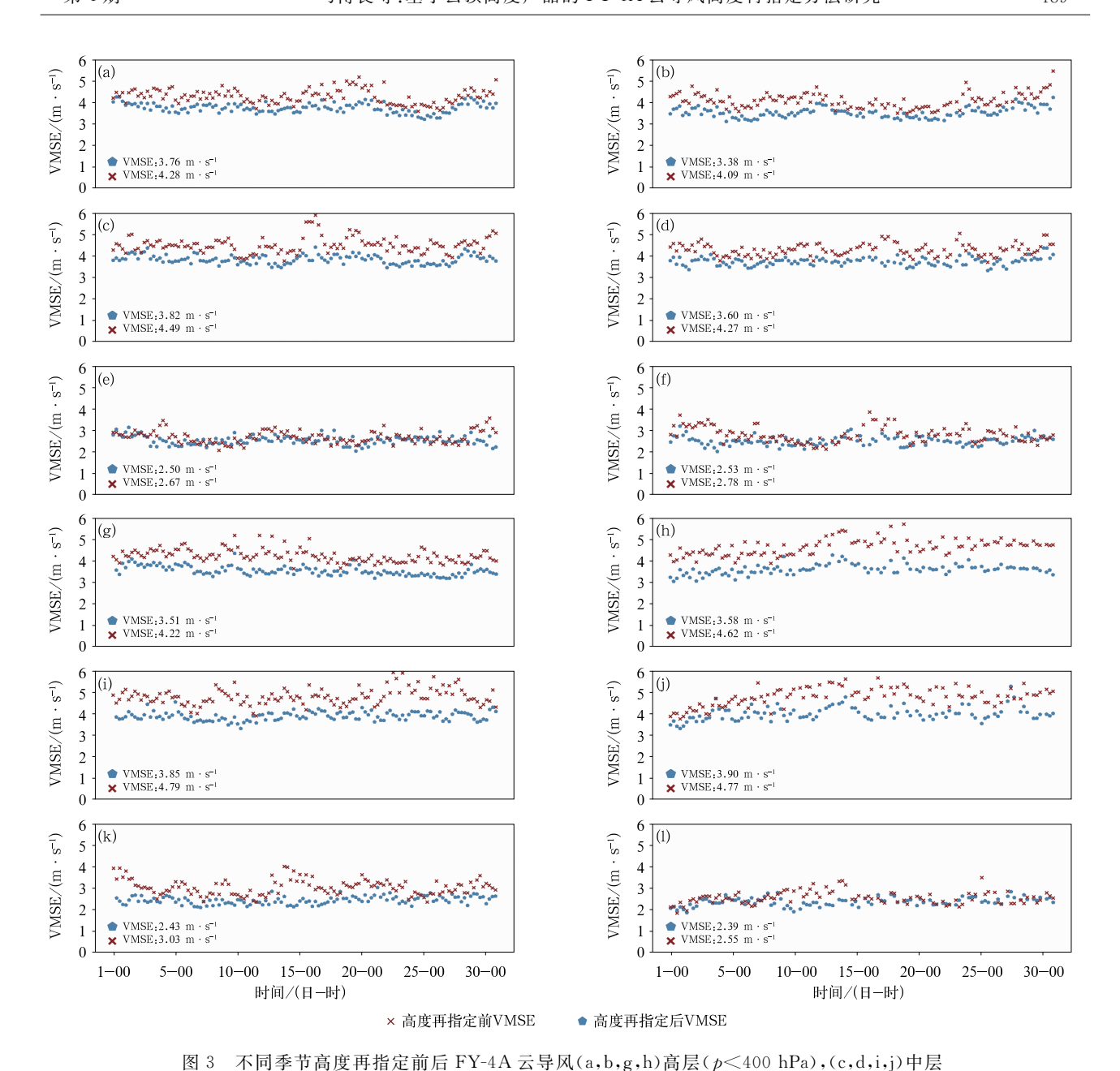


图 2 不同季节高度再指定前后 FY-4A 云导风(a,b,g,h)高层(p<400 hPa), (c,d,i,j)中层(400 hPa $\leqslant p$ <700 hPa)和(e,f,k,l)低层(p $\geqslant$ 700 hPa)

U 分量 Bias 及 RMSE 随时间的变化

(a,c,e)夏季:2022 年 7 月,(b,d,f)秋季:2022 年 10 月,(g,i,k)冬季:2023 年 1 月,(h,j,l)春季:2023 年 4 月
Fig. 2 Temporal variations of Bias and root mean square error (RMSE) for the *U*-component of FY-4A atmospheric motion vectors in (a, b, g, h) high layer (p<400 hPa), (c, d, i, j) medium layer (400 hPa≤p<700 hPa), (e, f, k, l) low layer (p≥700 hPa) before and after height reassignment in different seasons

(a, c, e) summer: July 2022, (b, d, f) autumn: October 2022, (g, i, k) winter: January 2023, (h, j, l) spring: April 2023



(400 hPa≤p<700 hPa)和(e,f,k,l)低层(p≥700 hPa) VMSE 随时间的变化
(a,c,e)夏季:2022 年 7 月,(b,d,f)秋季:2022 年 10 月,(g,i,k)冬季:2023 年 1 月,(h,j,l)春季:2023 年 4 月
Fig. 3 Temporal variations of vector mean square error (VMSE) for FY-4A atmospheric motion vectors in
(a, b, g, h) high layer (p<400 hPa), (c, d, i, j) medium layer (400 hPa≤p<700 hPa), (e, f, k, l) low layer (p≥700 hPa) before and after height reassignment in different seasons
(a, c, e) summer: July 2022, (b, d, f) autumn: October 2022,
(g, i, k) winter: January 2023, (h, j, l) spring: April 2023

均样本数量为 1197 个(占低层再指定前 95.53%, 占再指定后 63.23%),中层平均样本数量为 699 个 (占再指定前 59.03%,占再指定后 58.59%),高层 平均样本数量为 2527 个(占再指定前 77.11%,占 再指定后 97.08%)。这一结果表明,云导风 Bias 及 RMSE 的改善并非由整体高度降低(即检验背景场的风速减小)所致,而是云顶高度指定精度提升所带来的影响。

高度再指定改善了在云顶高度发生突变情况下的云导风准确性。有些云顶高度在 15 min 观测间

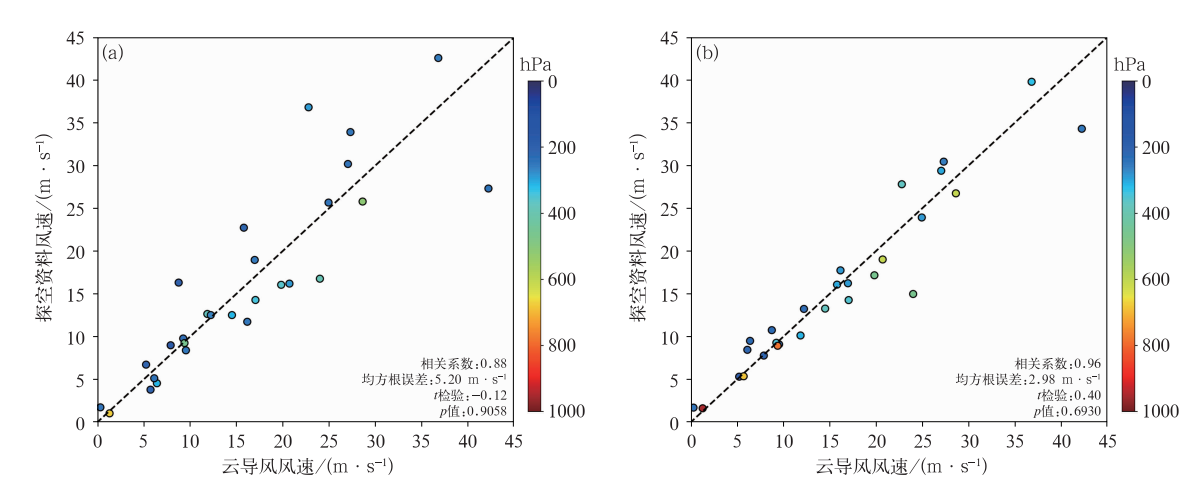
隔内会发生快速变化,可能是由于云在该位置的快速抬升或下降,导致云导风高度 Bias 较大。通过分析云导风速度来判断其在观测间隔内的移动距离,并统计始终存在于同一跟踪框内的样本,可以更准确地评估云顶高度变化与云导风 Bias 的关系。2022年7月22日00时至24日00时云顶高度变化

与云导风 Bias 的检验结果(图 7)显示,云顶高度快速变化的区域在一定程度上与 Bias 显著的区域相同(相关系数为 0.55),此现象在南半球澳大利亚上空尤为明显。高度再指定使得该现象得到了显著改善(图 7b,7c),将 Bias 从 13.0 m  $\cdot$  s<sup>-1</sup>减少到了 7.5 m  $\cdot$  s<sup>-1</sup>。

表 1 高度再指定前后 FY-4A 云导风检验统计结果

	Table 1	Statistical validation	results of FY-4A atmospheric	motion vectors before and	after height reassignment
--	---------	------------------------	------------------------------	---------------------------	---------------------------

分层	检验方法	分组	2022年7月	2022年10月	2023年1月	2023年4月	平均
	Bias/(m⋅s <sup>-1</sup> )	再指定前	-0.43	-0.53	-0.25	-0.44	-0.41
		再指定后	-0.19	-0.29	-0.22	-0.02	-0.18
立日	MAPE/%	再指定前	18. 33	16.88	16.28	16.14	16.90
高层		再指定后	16.20	15.29	14.89	13.50	14.97
	RMSE/(m • s <sup>-1</sup> )	再指定前	4.02	3.90	3.91	4.42	4.06
		再指定后	3.25	3.13	3.23	3.40	3.25
	Bias/(m·s <sup>-1</sup> )	再指定前	-0.80	-0.28	-0.86	-0.38	-0.58
		再指定后	-0.15	0.20	0.14	0.30	0.13
中层	MAPE/%	再指定前	17.96	18.86	19.46	19.26	18.88
中压		再指定后	16.34	17.45	16.79	16.74	16.83
	$RMSE/(m \cdot s^{-1})$	再指定前	4.09	3.86	4.65	4.40	4.25
		再指定后	3.62	3.57	3.80	3.88	3.71
	Bias/(m⋅s <sup>-1</sup> )	再指定前	-0.70	-0.76	-1.10	-0.74	-0.83
		再指定后	0.28	0.23	0.26	0.50	0.31
低日	MAPE/%	再指定前	19.81	20.28	19.55	19.49	19.78
低层		再指定后	19.20	19.59	18.28	18.62	18.92
	RMSE/ (m • s <sup>-1</sup> )	再指定前	2.27	2.34	2.78	2.29	2.42
		再指定后	2.14	2.10	2.11	2.19	2.13



注:填色为云导风高度。

图 4 2022 年 7 月广州和北京站高度再指定前后 FY-4A 云导风与探空高空风场风速散点图 (a)高度再指定前,(b)高度再指定后

Fig. 4 Scatter plots of wind speed between FY-4A atmospheric motion vectors and sounding high-altitude wind field data (a) before and (b) after height reassignment at Guangzhou and Beijing sounding stations in July 2022

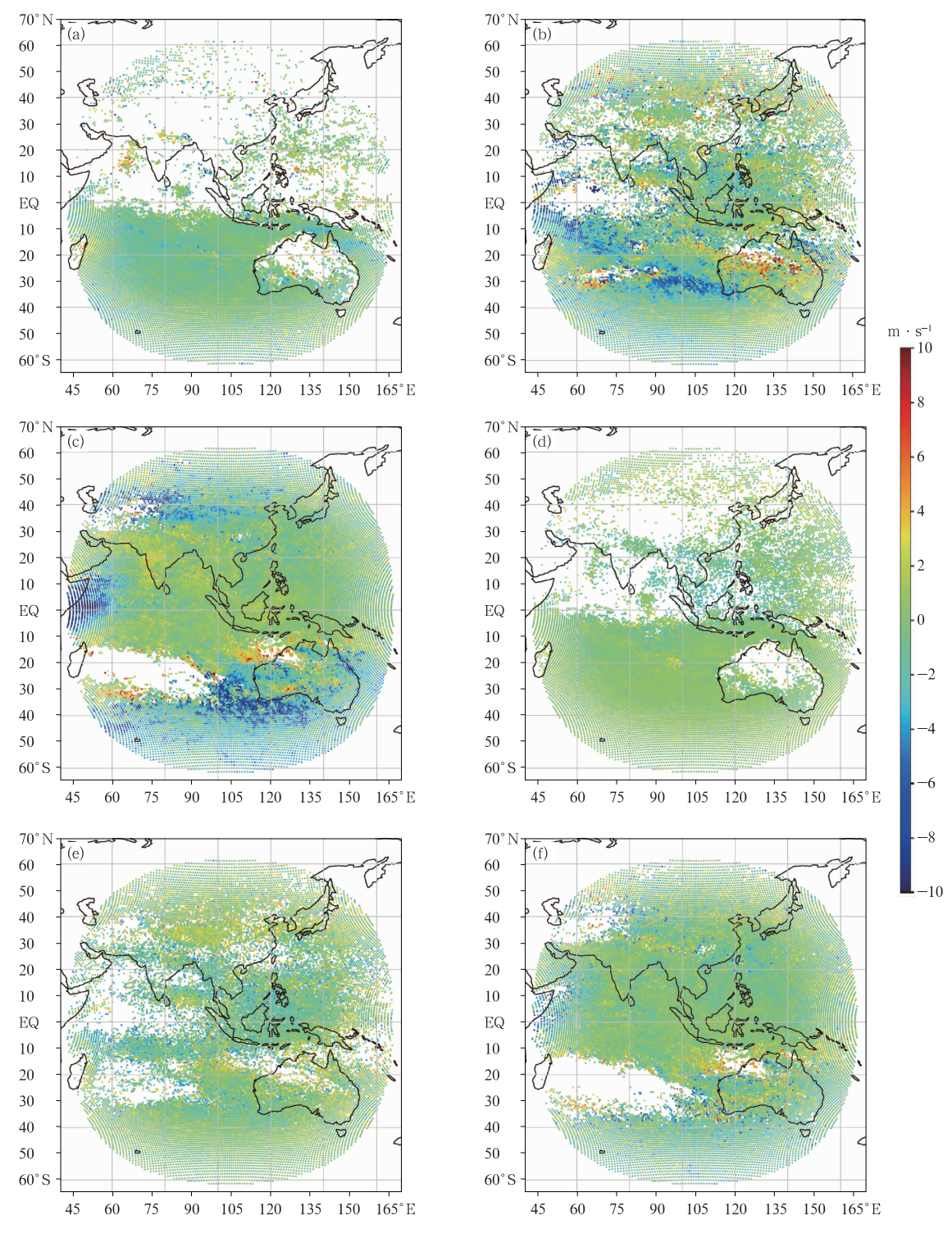


图 5 2022 年 7 月(a,d)低层,(b,e)中层和(c,f)高层 FY-4A 云导风平均 U 分量风速 Bias (a~c)高度再指定前,(d~f)高度再指定后

Fig. 5 Mean *U*-component wind speed Bias for FY-4A atmospheric motion vectors in (a, d) low layer, (b, e) medium layer and (c, f) high layer in July 2022 (a-c) before height reassignment, (d-f) after height reassignment

高度再指定后的云导风反映风场环流形势的能 力有所增强。在 2022 年 10 月 9 日 00 时一次东北 冷涡天气过程中(图 8),对比分析 500 hPa 高度上的云导风(选取所有高度为 475~525 hPa 样本)与

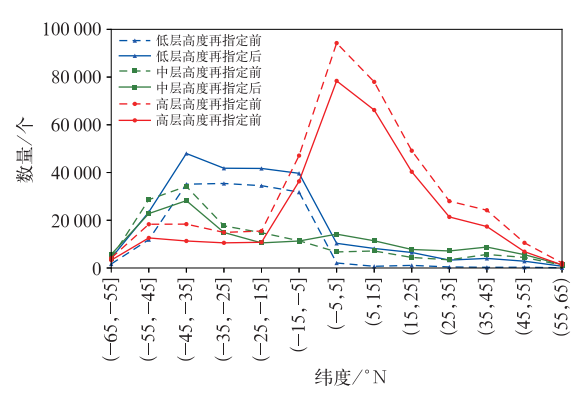


图 6 2022 年 7 月高度再指定前后 FY-4A 云导风总数随纬度的分布

Fig. 6 Distribution of the total number of FY-4A atmospheric motion vectors in July 2022 before and after height reassignment

环流背景场,经过高度再指定,更多此前位于其他高度( $350\sim450~hPa$ )的云导风被再指定到了 500~hPa等压面中,例如辽宁上空( $40^{\circ}\sim45^{\circ}N$ 、 $120^{\circ}\sim125^{\circ}E$ )的辐合急流带,一些不适当和不匹配的风矢量被从此层删除(图 8a~ptenger 中红色风矢),使东北冷涡( $37^{\circ}\sim43^{\circ}N$ 、 $117^{\circ}\sim124^{\circ}E$ )的气旋性(逆时针)风场流动及其西南侧的辐合急流带体现得更为明显(杨吉等, 2020)。

此外,还对比了 2022 年 7 月 2 日 06 时台风暹 芭在我国登陆时的高层云导风观测风场(选取所有 高度为 150~250 hPa 样本)与 ERA5 200 hPa 风场 (图 9),高度再指定后,云导风所观测到的风场更加 明显,对观测资料的订正起到了积极作用。

表 2 2022 年 7 月高度再指定前后位于同一分层的 FY-4A 云导风 Bias 和 RMSE Table 2 Bias and RMSE of FY-4A atmospheric motion vectors within the same layer before and after height reassignment in July 2022

_			•			<u> </u>	
分组	公48	低层		中层		高层	
	ガ组	Bias/(m • s <sup>-1</sup> )	RMSE/( $m \cdot s^{-1}$ )	$\mathrm{Bias}/(\mathrm{m} \cdot \mathrm{s}^{-1})$	RMSE/( $m \cdot s^{-1}$ )	$\mathrm{Bias}/(\mathrm{m} \cdot \mathrm{s}^{-1})$	RMSE/( $m \cdot s^{-1}$ )
	再指定前	-0.70	2.27	-0.80	4.09	-0.43	4.02
	再指定后	0.24	1.71	-0.09	3.35	-0.29	3.28

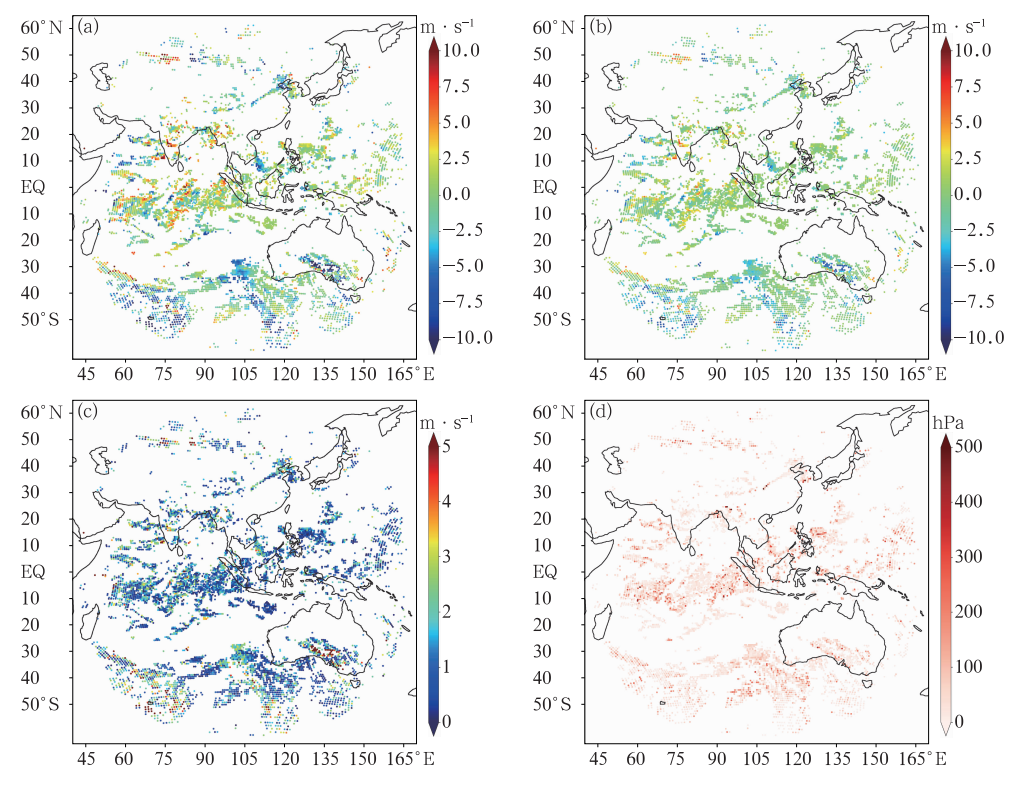
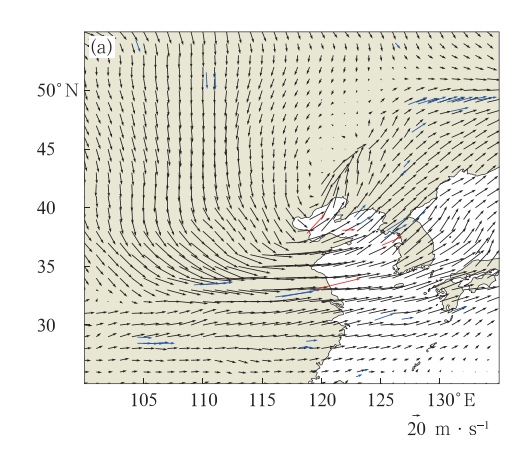
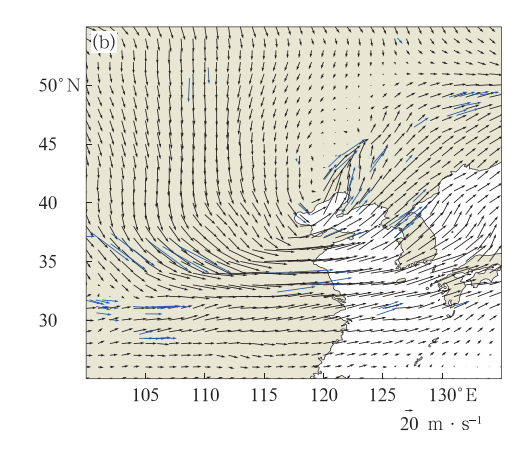


图 7 2022 年 7 月 22 日 00 时至 24 日 00 时快速抬升或快速下降云所对应的 FY-4A 云导风(a)高度再指定前 Bias,(b)高度再指定后 Bias,(c)高度再指定前后 Bias 的差,以及(d)24 日 00 时前后两个时次云顶高度的变化 Fig. 7 (a-c) Bias for wind speed of FY-4A atmospheric motion vectors corresponding to rapidly ascending or descending clouds (a) before and (b) after height reassignment, (c) difference in Bias before and after height reassignment from 00:00 UTC 22 to 00:00 UTC 24, and (d) variation in cloud top height at two consecutive times at 00:00 UTC 24 July 2022



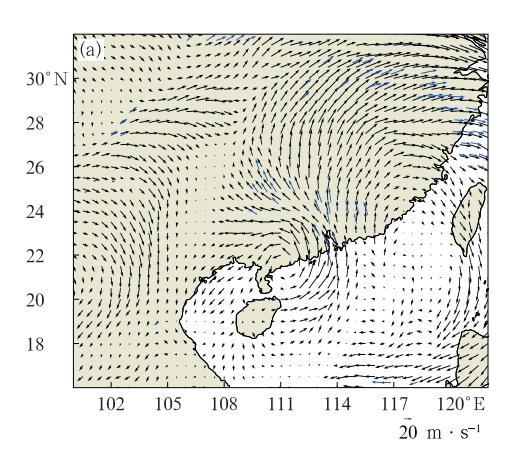


注:红色风矢为高度再指定前与周围背景场对比一致性较差的云导风,黑色风矢为 ERA5 风场,蓝色风矢为云导风,下同。

图 8 2022 年 10 月 9 日 00 时 500 hPa 等压面(475~525 hPa)云导风与 ERA5 风场 (a)高度再指定前,(b)高度再指定后

Fig. 8 Atmospheric motion vectors at the 500 hPa isobaric surface (475-525 hPa) at 00:00 UTC 9 October 2022 compared with the ERA5 wind field

(a) before height reassignment, (b) after height reassignment



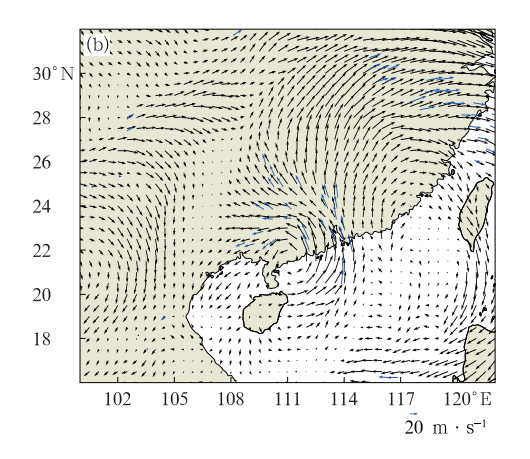


图 9 2022 年 7 月 2 日 06 时 200 hPa 等压面(150~250 hPa)云导风与 ERA5 风场(a)高度再指定前,(b)高度再指定后

Fig. 9 Atmospheric motion vectors at the 200 hPa isobaric surface (150-250 hPa) at 06:00 UTC 2 July 2022 compared with the ERA5 wind field

(a) before height reassignment, (b) after height reassignment

## 3 结 论

提出了一种利用 FY-4A 云顶高度产品对云导风进行高度再指定的方法,并通过与 ERA5 再分析资料比较,评估了高度再指定后云导风质量的改进。主要结论如下:

(1)经过高度再指定,低层云导风数量明显增加 (平均从 1116 个增加到 1768 个),高层数量对应减少(平均从 3056 个减小到 2385 个),中层数量保持 相对不变。整体高度的变化可能与二氧化碳切片法 对中高层云上方光学薄卷云的剔除有关(Heidinger et al,2010)。

(2)经过高度再指定后,各层存在的慢速偏差现象得到改善,各层均方根误差均有所降低,高层均方根误差的改善尤为显著(从订正前  $4.06~\text{m} \cdot \text{s}^{-1}$ ),低层的平均绝对百分比误差改进较小。

(3)针对高度再指定后高层云导风减少、低层云导风增加的情况,统计再指定后仍然在同一分层(即

高层、中层和低层云导风)样本(高、中、低层平均数量分别为2527、699和1197个),发现其偏差和均方根误差同样均有所减小。

- (4)云顶的快速抬升或快速下降是导致云导风偏差增大的因素之一,本文提出的高度再指定方法能够在一定程度上减小此因素的影响。
- (5)经过高度再指定后,云导风得到的风场与实际环流特征的一致性有所改善。

综上所述,本文提出的基于云顶高度产品的云导风高度再指定方法,能够在一定程度上改进云导风产品精度。该方法不仅提高了云导风与背景风场的一致性,还能更好服务于天气系统的分析,辅助预报员提供更为准确的预报服务。

#### 参考文献

- 陈华,许健民,张其松,等,1999. 用高度调整法进行云迹风高度的质量控制[J]. 气象科学,19(1):20-25. Chen H, Xu J M, Zhang Q S, et al, 1999. The quality controlling of cloud winds using height updating[J]. J Meteor Sci,19(1):20-25(in Chinese).
- 万晓敏,龚建东,韩威,等,2019. FY-4A 云导风在 GRAPES\_RAFS 中的同化应用评估[J]. 气象,45(4):458-468. Wan X M,Gong J D, Han W, et al, 2019. The evaluation of FY-4A AMVs in GRAPES\_RAFS[J]. Meteor Mon,45(4):458-468(in Chinese).
- 万晓敏,田伟红,韩威,等,2017. FY-2E 云导风的算法改进及其在GRAPES中的同化应用研究[J]. 气象,43(1):1-10. Wan X M, Tian W H, Han W, et al,2017. The evaluation of FY-2E reprocessed IR AMVs in GRAPES[J]. Meteor Mon,43(1):1-10(in Chinese).
- 王富,赵宇,2021. 风云四号静止气象卫星的云顶高度反演算法[J]. 四川师范大学学报(自然科学版),44(3):412-418. Wang F, Zhao Y,2021. An algorithm for retrieving cloud top height based on geostationary satellite data of Fengyun-4[J]. J Sichuan Normal Univ (Nat Sci),44(3):412-418(in Chinese).
- 许健民,2020. 风云二号气象卫星图像定位和卫星风精度的改善中解决问题的途径[J]. 南京信息工程大学学报,12(1):1-6. Xu J M, 2020. Pathways on solving problems at algorithm improvements for FY-2 meteorological satellite at image navigation and wind vector derivation[J]. J Nanjing Univ Inform Sci Technol,12(1): 1-6(in Chinese).
- 许健民,张其松,2006. 卫星风推导和应用综述[J]. 应用气象学报,17 (5):574-582. Xu J M, Zhang Q S,2006. Status review on atmospheric motion vectors-derivation and application[J]. J Appl Meteor Sci,17(5):574-582(in Chinese).
- 薛纪善,2009. 气象卫星资料同化的科学问题与前景[J]. 气象学报,67(6):903-911. Xue J S,2009. Scientific issues and perspective of assimilation of meteorological satellite data[J]. Acta Meteor Sin,67(6):903-911(in Chinese).
- 杨吉,郑媛媛,夏文梅,等,2020. 东北冷涡影响下江淮地区一次飑线 过程的模拟分析[J]. 气象,46(3):357-366. Yang J, Zheng Y Y, Xia W M, et al, 2020. Numerical analysis of a squall line case

influenced by northeast cold vortex over Yangtze-Huaihe River Valley[J]. Meteor Mon,46(3):357-366(in Chinese).

第 51 卷

- 杨璐,宋林烨,荆浩,等,2022. 复杂地形下高精度风场融合预报订正技术在冬奥会赛区风速预报中的应用研究[J]. 气象,48(2): 162-176. Yang L,Song L Y,Jing H,et al,2022. Fusion prediction and correction technique for high-resolution wind field in Winter Olympic Games area under complex terrain[J]. Meteor Mon,48(2):162-176(in Chinese).
- 杨天杭,顾明剑,胡秀清,等,2021. 基于跨平台红外高光谱观测的对流层三维风场测量[J]. 光谱学与光谱分析,41(4):1131-1137. Yang T H,Gu M J,Hu X Q,et al,2021. Tropospheric 3D winds measurement based on cross-platform infrared hyperspectral observation[J]. Spectrosc Spect Anal,41(4):1131-1137(in Chinese).
- 张晓虎,张其松,许健民,2017a. 半透明云风矢量高度算法中代表运动像元的使用[J]. 应用气象学报,28(3):270-282. Zhang X H, Zhang Q S,Xu J M,2017a. Use of representative pixels of motion for wind vector height assignment of semi-transparent clouds[J]. J Appl Meteor Sci,28(3):270-282(in Chinese).
- 张晓虎,张其松,许健民,2017b. 半透明云风矢量高度算法中云下背景辐射的估计[J]. 应用气象学报,28(3):283-291. Zhang X H, Zhang Q S, Xu J M,2017b. Estimation of background radiation underneath clouds for wind vector height assignment of semitransparent clouds[J]. J Appl Meteor Sci, 28(3):283-291(in Chinese).
- 周润东,夏攀,张晓虎,等,2024. 气象卫星大气导风研究进展和未来展望[J]. 地球与行星物理论评,55(2):184-194. Zhou R D, Xia P, Zhang X H, et al, 2024. Research progress and prospects of atmospheric motion vector based on meteorological satellite images[J]. Rev Geophys Planet Phys, 55(2):184-194(in Chinese).
- Baker W E, Atlas R, Cardinali C, et al, 2014. Lidar-measured wind profiles: the missing link in the global observing system[J]. Bull Amer Meteor Soc, 95(4):543-564.
- Borde R.Doutriaux-Boucher M.Dew G.et al. 2014. A direct link between feature tracking and height assignment of operational EUMETSAT atmospheric motion vectors[J]. J Atmos Ocean Technol, 31(1):33-46.
- Borde R.Oyama R.2008. A direct link between feature tracking and height assignment of operational EUMETSAT atmospheric motion vectors [C] // 9th International Winds Workshop. Annapolis. EBSCO.
- Bormann N, Kelly G, Thépaut J N, 2002. Characterising and correcting speed biases in atmospheric motion vectors within the ECMWF system [C]. Proceedings of the Sixth International Winds Workshop:113-120.
- Bormann N, Saarinen S, Kelly G, et al, 2003. The spatial structure of observation errors in atmospheric motion vectors from geostationary satellite data[J]. Mon Wea Rev, 131(4):706-718.
- Bormann N, Thépaut J N, 2004. Impact of MODIS polar winds in ECMWF's 4DVAR data assimilation system [J]. Mon Wea Rev, 132(4):929-940.
- Daniels J, Bresky W, Wanzong S, et al, 2013. Atmospheric motion

- vectors derived via a new nested tracking algorithm developed for the GOES-R advanced baseline imager (ABI)[C]. Proceedings of the Ninth Annual Symposium on Future Operational Environmental Satellite Systems, Austin; 5-10.
- Heidinger A K, Pavolonis M J, 2009. Gazing at cirrus clouds for 25 years through a split window. Part I: methodology[J]. J Appl Meteor Climatol, 48(6):1100-1116.
- Heidinger A K, Pavolonis M J, Holz R E, et al, 2010. Using CALIPSO to explore the sensitivity to cirrus height in the infrared observations from NPOESS/VIIRS and GOES-R/ABI[J]. J Geophys Res Atmos, 115(D4): D00H20.
- Le Marshall J, Rea A, Leslie L M, et al, 2004. Error characterisation of atmospheric motion vectors [J]. Aust Meteor Mag, 53(2): 123-131.
- Lean K, Bormann N, 2023. Using model cloud information to reassign low-level atmospheric motion vectors in the ECMWF assimilation system[J]. J Appl Meteor Climatol, 62(3):361-376.
- Li D, Liu Y Z, Luo R, et al, 2024. Validation and revision of low latitudes cloud base height from ERA5[J]. Atmos Res, 309:107595.
- Liang J H, Chen K Y, Xian Z P, 2021. Assessment of FY-2G atmospheric motion vector data and assimilating impacts on typhoon forecasts[J]. Earth Space Sci,8(6):e2020EA001628.
- Min M, Li J, Wang F, et al, 2020. Retrieval of cloud top properties from advanced geostationary satellite imager measurements based on machine learning algorithms [J]. Remote Sensing Environ, 239.111616.
- Nieman S J, Paul Menzei W, Hayden C M, et al, 1997. Fully automated cloud-drift winds in NESDIS operations[J]. Bull Am Meteor Soc, 78(6):1121-1134.
- Oh S M, Borde R, Carranza M, et al, 2019. Development and intercomparison study of an atmospheric motion vector retrieval algorithm for GEO-KOMPSAT-2A[J]. Remote Sensing, 11(17): 2054.
- Paul Menzel W. Frey R A. Baum B A. et al, 2010. Cloud top properties and cloud phase algorithm theoretical basis document [R/OL]. [2024-05-16]. NASA Goddard Space Flight Center. http://modis.gsfc.nasa.gov/data/atbd/atbd\_mod04.pdf
- Roebeling R,Baum B,Bennartz R,et al,2013. Evaluating and improving cloud parameter retrievals[J]. Bull Amer Meteor Soc,94 (4):ES41-ES44.
- Stoffelen A. Benedetti A. Borde R. et al. 2020. Wind profile satellite observation requirements and capabilities [J]. Bull Amer Meteor

- Soc, 101(11); E2005-E2021.
- Tan Z H, Ma S, Zhao X B, et al, 2019. Evaluation of cloud top height retrievals from China's next-generation geostationary meteorological satellite FY-4A[J]. J Meteor Res, 33(3):553-562.
- Velden C, Daniels J, Stettner D, et al, 2005. Recent innovations in deriving tropospheric winds from meteorological satellites[J]. Bull Amer Meteor Soc, 86(2):205-224.
- Velden C S, Bedka K M, 2009. Identifying the uncertainty in determining satellite-derived atmospheric motion vector height attribution[J]. J Appl Meteor Climatol, 48(3): 450-463.
- Verlinden K L, Thompson D W J, Stephens G L, 2011. The threedimensional distribution of clouds over the Southern Hemisphere high latitudes[J]. J Climate, 24(22):5799-5811.
- Wang F, Min M, Xu N, et al, 2022. Effects of linear calibration errors at low-temperature end of thermal infrared band: lesson from failures in cloud top property retrieval of Fengyun-4A geostationary satellite [J]. IEEE Trans Geosci Remote Sens, 60: 5001511.
- Wanzong S, Heidinger A, Daniels J, et al, 2016. Comparison of the optimal cloud analysis product (OCA) and the goes-R ABI cloud height algorithm (ACHA) cloud top pressures for AMVS[R/OL][2024-05-16]. Monterey: Proceedings for the 13th International Winds Workshop. https://cgms-info.org/html/iww13/proceedings\_iww13/papers/session3/IWW13\_Session3\_5\_Wanzong\_final.pdf
- Xu J, Holmlund K, Zhang Q, et al, 2002. Comparison of two schemes for derivation of atmospheric motion vectors[J]. J Geophys Res Atmos, 107 (D14): ACL 4-1-ACL 4-15.
- Xu J M, Zhang Q S, Xiang F, et al, 1998. Cloud motion winds from FY-2 and GMS-5 meteorological satellites [C] // Proceedings of the 4th International Winds Workshop. Saanenmöser: EUMETSAT Publication; 41-48.
- Yang C Y, Lu Q F, Zhang P, 2012. A study on height reassignment for the AMV products of the FY-2C satellite[J]. Acta Meteor Sin, 26(5):614-628.
- Yao B, Teng S W, Lai R Z, et al, 2020. Can atmospheric reanalyses (CRA and ERA5) represent cloud spatiotemporal characteristics? [J]. Atmos Res, 244:105091.
- Zhao F M, Tang C L, Dai C M, et al, 2020. The global distribution of cirrus clouds reflectance based on MODIS level-3 data[J]. Atmosphere, 11(2):219.

(本文责编:何晓欢)